УЛК 544.47: 547.72

КОНДЕНСАЦИЯ ЦИКЛОГЕКСАНОНА С 2-МЕТИЛФУРАНОМ В ПРИСУТСТВИИ МОДИФИЦИРОВАННЫХ СУЛЬФОГРУППАМИ ПОРИСТЫХ АРОМАТИЧЕСКИХ КАРКАСОВ

© 2024 г. Ш. Лян¹, Л.А. Куликов^{1, *}, Ю.С. Кардашева¹, М. В. Теренина¹, Н.А. Синикова¹, Э.А. Караханов¹

¹Московский государственный университет имени М.В. Ломоносова, химический факультет, Москва, 119991 Россия *E-mail: mailforleonid@mail.ru

Поступила в редакцию 21 ноября 2024 г. После доработки 26 ноября 2024 г. Принята к публикации 10 декабря 2024 г.

Модифицированные сульфогруппами пористые ароматические каркасы исследованы в качестве катализаторов конденсации циклогексанона с 2-метилфураном. Количественный выход целевого продукта — 1,1-бис(5-метил-2-фурил)циклогексана — достигается при температуре 60° C, соотношении 2-метилфуран : циклогексанол = 2 за 4 ч. Катализатор может быть использован многократно без дополнительной регенерации.

Ключевые слова: конденсация, пористые ароматические каркасы, циклогексанон, 2-метилфуран, кислотный катализатор

DOI: 10.31857/S0028242124050082. **EDN:** MUOCOX

Возобновляемые ресурсы представляют собой устойчивую альтернативу нефтехимическим источникам (уголь, газ, нефть) для удовлетворения постоянно растущего спроса современного общества на энергию и химикаты [1]. В их число входит и лигноцеллюлозная биомасса, при переработке которой можно получить фенолы, ароматические углеводороды, алкилированные нафтены, органические кислоты, спирты, кетоны и альдегиды. В частности, гидропереработка лигнинной составляющей бионефти позволяет получать циклогексанон и его алкилпроизводные, а гидропереработка целлюлозной составляющей — производные фурана: метилфуран, фурфурол, фурфуриловый спирт, 5-гидроксифурфурол и т.п. Их исчерпывающее гидрирование и деоксигенация позволяет получать углеводороды ряда С5-С9, по температурам кипения относящиеся к бензиновой фракции нефти. В то же время, интерес представляет получение из лигноцеллюлозной бионефти и продуктов ее переработки компонентов дизельных и авиационных топлив, обладающих более высокой температурой кипения и молекулярной массой. Один из способов получения указанных соединений — проведение управляемой конденсации входящих в состав бионефти молекул друг с другом и дальнейшее гидрирование и гидродеоксигенация получаемых продуктов конденсации [2]. Полученные углеводороды обладают высокой теплотворной способностью и одновременно низкой температурой застывания за счет разветвленного строения.

В большинстве работ изучение процессов конденсации и гидрирования рассматривается отдельно. Для конденсации компонентов лигноцеллюлозной бионефти и продуктов ее гидрообработки применяют как основные, так и кислотные катализаторы. К первому типу катализаторов относят оксиды металлов, полимеры с основными центрами, материалы типа гидротальцита и др. [3—7]. Преимущество основных катализаторов — более высокая активность, однако при достаточно высокой силе основных центров побочно протекает реакция Канниццаро, приводя-

500 ЛЯН и др.

щая к расходованию карбонильных соединений и деактивации основных центров катализатора образующимися кислотами.

Кислотные катализаторы лишены данного недостатка и также проявляют высокую активность, но в их присутствии интенсивнее идут процессы олигомеризации продуктов конденсации. Так, в работах [8—10] была изучена конденсация кетонов и альдегидов на различных цеолитах (H-ZSM-5, H-BEA, H-MOR и др.). Распространение получили также катализаторы на основе мезопористых оксидов алюминия/кремния [11—13]. Еще одним важным типом кислотных катализаторов являются материалы, структура которых модифицирована сульфогруппами, такие как мезопористые оксиды кремния и различные материалы на основе углерода [14—17].

Особый интерес представляют катализаторы на основе углеродных носителей, поскольку они менее подвержены деактивации под действием воды и закоксовывания. Высоким потенциалом в качестве катализаторов конденсации карбонильных соединений, получаемых из бионефти, обладают сульфированные углеродные материалы, например Nafion или Amberlyts-15. Как правило, стратегия получения сульфированных углеродных материалов заключается в обработке уже имеющихся материалов сульфирующими агентами — концентрированной серной кислотой, олеумом, серным ангидридом, хлорсульфоновой кислотой, толуолсульфокислотой и другими соединениями [17–19]. Свойства получаемых кислотных катализаторов во многом зависят от исходного материала: его химического состава, геометрии и размера пор, морфологии частиц материала и др.

Один из новых классов материалов, на основе которых разрабатываются катализаторы многих нефтехимических процессов (гидрирование, алкилирование, деароматизация, гидроформилирование, окисление и др.), — пористые ароматические каркасы (Porous Aromatic Frameworks, PAFs) [20–24]. Структура данных материалов построена из производных ароматических молекул, соединенных друг с другом при помощи ковалентных связей. Они обладают регулируемой пористостью; кроме того, возможно проведение модификации их структуры различными функциональными группами. По химической природе пористые ароматические каркасы наиболее близки к материалам

типа Amberlyst, одним из самых активных в реакциях кислотно-катализируемой конденсации. В связи с этим большой интерес представляет разработка катализаторов на основе пористых ароматических каркасов, способных катализировать последовательные реакции конденсации, гидрирования и дегидратации соединений, получаемых из бионефти.

В данной работе изучена возможность селективного получения кислородсодержащих прекурсоров дизельного или реактивного топлива путем конденсации циклогексанона с 2-метилфураном. Исследовано влияние различных параметров реакции на выход продукта, селективность и кинетику реакции.

ЭКСПЕРИМЕНТАЛЬНАЯ ЧАСТЬ

Исходные вещества и материалы

В работе были использованы следующие реактивы: тетрагидрофуран (х.ч., Компонентреактив, Россия), этиловый спирт (ч.д.а. ИРЕА 2000, Россия), хлорсульфоновая кислота (99%, Sigma-Aldrich, США), дихлорметан (х.ч., Компонент-реактив, Россия), циклогексанон (99.9%, ABCR, Германия), 2-метилфуран (99%, Sigma-Aldrich, США). Очистку растворителей и реагентов проводили по стандартным методикам.

Синтез носителей и катализаторов

Синтез пористых ароматических каркасов PAF-30 осуществляли при помощи реакции кросс-сочетания Сузуки из тетракис(*n*-бромфенил)метана и 4,4′-бифенилдиборной кислоты по методике, приведенной в работе [25]. Введение в структуру материала PAF-30 сульфогрупп проводили при помощи сульфирования хлорсульфоновой кислотой в дихлорметане [18].

Проведение каталитических экспериментов

Реакции проводили в стальном автоклаве емкостью 45 мл, снабженном магнитной мешалкой и устройством для термостатирования в интервале температур 40—60°С и давлении азота 1.0 МПа. В типичном эксперименте в автоклав загружали требуемое количество катализатора, смеси субстратов. Затем автоклав герметизировали, продували два раза азотом, после чего создавали требуемое давление азота. Далее автоклав нагревали до требуемой температуры, включали пе-

ремешивание и начинали отсчет времени реакции. По окончании реакции автоклав охлаждали до 15°C, разгерметизировали, полученную смесь продуктов каталитических превращений анализировали методом ГЖХ.

Приборы и методы

Характеристики пористости образцов определены на анализаторе Gemini VII 2390 (V1.02 t) фирмы Micromeritics (США) по стандартной методике. Перед анализом образцы вакуумировали при 120°С в течение 6 ч при давлении 3×10^{-3} атм. Изотермы адсорбции и десорбции азота регистрировали при температуре 77 К. Расчет пористости структур проводили с использованием стандартного программного обеспечения. Удельная поверхность рассчитана по модели ВЕТ (Брунауэр—Эммет—Тэллер) при относительном парциальном давлении $P/P_0 = 0.2$. Общий объем пор рассчитан по модели ВЈН (Баррет—Джойнер—Халенда) при относительном парциальном давлении $P/P_0 = 0.95$.

Анализ методом ИК-спектроскопии с Фурье-преобразованиями (FTIR) выполнен на приборе Nicolet IR2000 (Thermo Scientific, США) с использованием метода многократно нарушенного полного внутреннего отражения при помощи приставки Multireflection HATR, содержащей кристалл ZnSe 45° для различных диапазонов длин волн с разрешением 4 нм в области 4000—400 см⁻¹. Спектры были получены усреднением 100 сканирований.

Кислотность материала $PAF-30-SO_3H$ устанавливали при помощи потенциометрического титрования по методике, описанной в работе [26].

Анализ жидких продуктов методом ГЖХ осуществляли на хроматографе Кристалл-4000 с пламенно-ионизационным детектором, капил-

лярной колонкой RTX-5Sil MS (30 м \times 0.25 мм \times \times 0.25 мкм) при программировании температуры от 60 до 230°C; газ-носитель — гелий.

РЕЗУЛЬТАТЫ И ИХ ОБСУЖДЕНИЕ

РАF-30 был синтезирован с использованием метода, описанного ранее [25, 27]. PAF-30-SO $_3$ H получали путем сульфирования каркаса PAF-30 хлорсульфоновой кислотой (схема 1) [18, 22]. Согласно данным элементного анализа, содержание серы в материале составляет 5.21 мас.%.

Спектры FTIR сульфированных материалов (рис. 1) содержат полосы поглощения при 610, 900, 1035, 1124—1220 и 1370 см $^{-1}$, характерные для сульфогрупп [28]. Полосы при 1170 и 1290 см $^{-1}$ соответствуют симметричным и асимметричным валентным колебаниям фрагмента O=S=O соответственно, а сигнал при 1035 см $^{-1}$ можно отнести к валентным колебаниям S=O [29]. Полоса поглощения при 1090 см $^{-1}$ относится к колебаниям связей C=S бензольного кольца каркаса, замещенного сульфогруппами, тогда как пик при 610 см $^{-1}$ соответствует его валентной моде [30]. По данным кислотно-основного титрования кислотность сульфированных PAF составляет 1.4 ммоль Γ^{-1} .

При сульфировании удельная площадь поверхности, рассчитанная с использованием модели ВЕТ, уменьшилась с 559 м 2 г $^{-1}$ для PAF-30 до 381 м 2 г $^{-1}$ для PAF-30-SO $_3$ H (табл. 1), а доля микропор, оцененная с использованием модели t-plot, изменилось с 50% для PAF-30 до 68% для PAF-30-SO $_3$ H.

Активность катализатора была исследована в реакции конденсации 2-метилфурана и циклогексанона (схема 2), которую проводили без использования растворителя, при температуре от 40 до 60°C и давлении азота 1 МПа.

Схема 1. Схема синтеза катализатора.

502 ЛЯН и др.

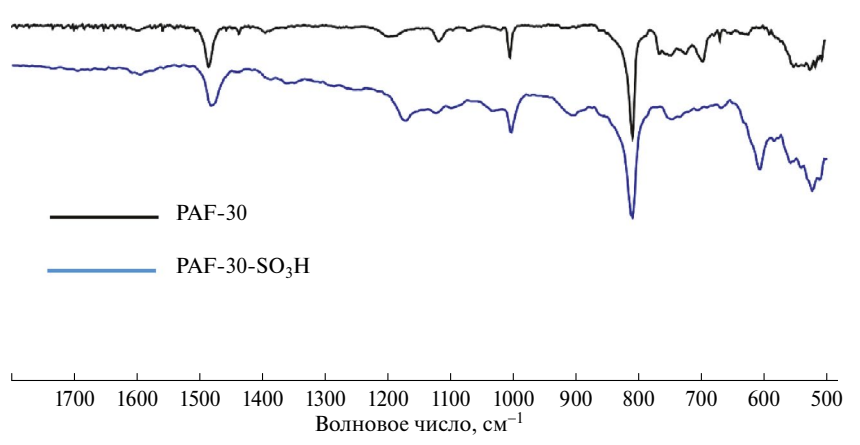


Рис. 1. ИК-спектры синтезированных материалов.

Схема 2. Схема реакции конденсации 2-метилфурана и циклогексанона.

В результате реакции наблюдается образование продуктов моно- и диалкилирования циклогексанона 2-метилфураном, причем среди продуктов преобладает целевой — 1,1-бис(5-метил-2-фурил)циклогексан. Следует отметить, что образование продуктов алкилирования происходит даже при очень низких концентрациях 2-метилфурана (мольное соотношение циклогексанон/2-метилфуран = 32/1, рис. 2), хотя в этом случае преобладают димеры циклогексанона, образование которых полностью ингибируется уже при соотношении реагентов 1/0.5. Практически количественная конверсия циклогесанона (94%) достигается за 1 ч при двукратном мольном избытке 2-метилфурана, а селективность образования продукта диалкилирования достигает в этом случае 97%.

Уменьшение количества катализатора (рис. 3а) приводит к снижению конверсии циклогексанона и некоторому снижению селективности по 1,1-бис(5-метил-2-фурил)циклогексану (с 97 до 91%).

Существенное влияние на скорость конденсации оказывает температура проведения реакции (рис. 36). Так, при 40°С за 1 ч суммарный выход продуктов составил 32%, а выход 1,1-бис

Таблица 1. Текстурные характеристики синтезированных материалов

Материал	$S_{ m BET},{ m m}^2/{ m r}$	$S_{\text{t-plot}}, \text{m}^2/\Gamma$	$S_{\text{t-plot}} / S_{\text{BET}} \times 100\%$
PAF-30	559	277	49.6
PAF-30-SO ₃ H (5.0)	381	260	68.2

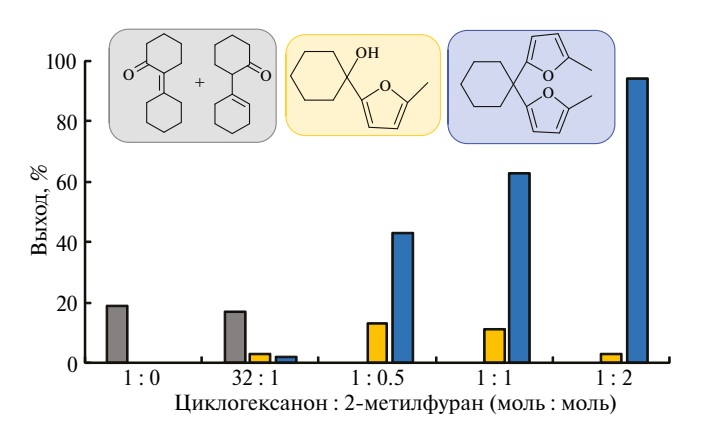


Рис. 2. Конденсация циклогексанона с 2-метилфураном при разных соотношениях реагентов. *Условия*: $20 \text{ мг PAF-}30\text{-SO}_3\text{H}$, 0.4 мл циклогексанона, 0-0.7 мл 2-метилфурана, 60°C , 1 ч, 1 МПа N_2 . Выход продуктов рассчитан на основе конверсии циклогексанона.

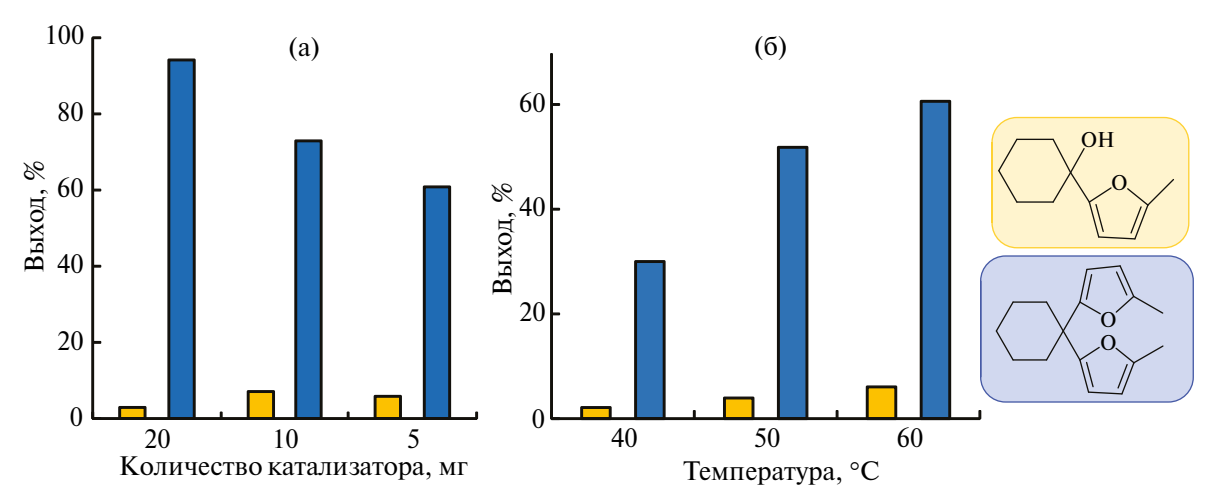


Рис. 3. Зависимость выхода продуктов конденсации циклогексанона и 2-метилфурана от количества катализатора (а) и температуры процесса (б). *Условия*: 1) 0.4 мл циклогексанона, 0.7 мл 2-метилфурана, 60°C, 1 ч, 1 МПа N_2 ; 2) 5 мг PAF-30-SO₃H, 0.4 мл циклогексанона, 0.7 мл 2-метилфурана, 1 ч, 1 МПа N_2 .

(5-метил-2-фурил)циклогексана — 30%, в то время как при 50 и 60°С общий выход увеличился до 56 и 67%, а продукта диконденсации — до 52 и 61% соответственно. При этом, в продуктах реакции, даже при низких температурах преобладает 1,1-бис(5-метил-2-фурил)циклогексан; это может означать то, что лимитирующей стадией всего процесса является диффузия субстратов к активным центрам катализатора и продуктов превращения в объем реакционной массы, которая облегчается при повышении температуры.

Из данных, представленных на рис. 4, следует, что на начальном этапе реакции скорость накопления продуктов конденсации 2-метилфурана и циклогексанона максимальна и практически половина исходных веществ конвертируется впродукты, после чего реакция замедляется и идет с практически постоянной скоростью вплоть до полного исчерпания субстрата за 4 ч. В работе [16] при исследовании кинетики данной реакции на катализаторе Nafion-212 была получена аналогичная зависимость: кривая накопления продукта конденсации отвечала реакции с ненулевым порядком, при которой скорость реакции постепенно уменьшается с расходованием субстратов.

Причиной снижения скорости реакции может быть и деактивация части активных центров катализатора — из-за адсорбции образующейся воды или из-за медленной диффузии продуктов алкилирования из пор в объем реакцион-

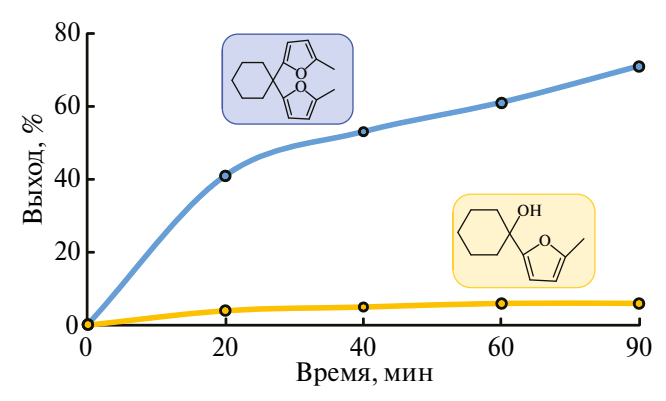


Рис. 4. График накопления продуктов конденсации 2-метилфурана и циклогексанона. *Условия*: 5 мг PAF-30-SO₃H, 0.4 мл циклогексанона, 0.7 мл 2-метилфурана, 60° C, 1 МПа N_2 .

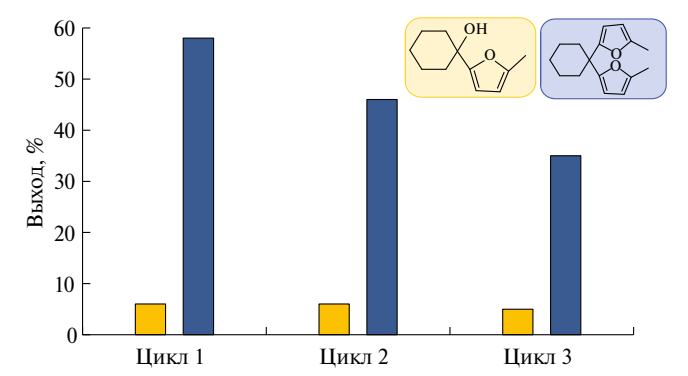


Рис. 5. Повторное использование катализатора $PAF-30-SO_3H$ (5%) в конденсации 2-метилфурана и циклогексанона. *Условия реакции*: 5 мг $PAF-30-SO_3H$, 0.4 мл циклогексанона, 0.7 мл 2-метилфурана, $60^{\circ}C$, 1 ч, 1 МПа N_2 .

ной массы. По той же причине, вероятно, происходит и некоторое снижение выхода продукта диалкилирования при многократном использовании катализатора (рис. 5); при этом выход 1,1-бис(5-метил-2-фурил)циклогексана снижался с 58% в первом цикле до 35% в третьем, а выход 1-гидрокси-1-(5-метил-2-фурил)циклогексана оставался неизменным и составлял около 5–6%. Учитывая тот факт, что катализатор при проведении повторных экспериментов отделяли от реакционной массы центрифугированием, не подвергая реактивации и тщательной промывке от оставшихся в порах продуктов конденсации и воды, можно сказать, что катализатор остается активным при многократном применении.

ЗАКЛЮЧЕНИЕ

Таким образом, на примере конденсации 2-метилфурана и циклогексанона, показано, что не содержащие какого-либо металла сульфированные полиароматические каркасы, характеризующиеся достаточно выраженной кислотностью, имеют высокий потенциал в качестве катализаторов конденсации соединений лигноцеллюлозной бионефти и продуктов ее переработки. Основным продуктом реакции является продукт диприсоединения. При мольном соотношении реагентов циклогексанон / 2-метилфуран = 1 / 2 глубина превращения циклогексанона составляет 94% за 1 ч. а селективность образования продукта его диалкилирования достигла 97%. На начальном этапе конденсация протекает с высокой скоростью и происходит накопление продуктов конденсации, после чего образующаяся вода адсорбируется на гидрофильных сульфогруппах и тем самым снижает скорость реакции. Для увеличения активности катализатора рекомендуется удалять воду, однако вопрос влияния наличия воды в системе на селективность образования целевого продукта остается открытым.

ФИНАНСИРОВАНИЕ РАБОТЫ

Исследование выполнено за счет гранта Российского научного фонда (проект РНФ № 20-19-00380).

КОНФЛИКТ ИНТЕРЕСОВ

Э.А. Караханов входит в состав редакционной коллегии журнала "Нефтехимия", в остальном авторы заявляют об отсутствии конфликта интересов, требующего раскрытия в данной статье.

ИНФОРМАЦИЯ О ВКЛАДЕ АВТОРОВ

Шан Лян — синтез носителей и катализаторов; Куликов Л.А. — разработка методики эксперимента, обсуждение результатов; подготовка текста статьи; Кардашева Ю.С. — подготовка иллюстративных материалов статьи, установление состава и структуры продуктов реакции; Теренина М.В. — обработка экспериментальных данных; Синикова Н.А. — проведение каталитических экспериментов; Караханов Э.А. — концептуализация. Все авторы участвовали в обсуждении результатов.

ИНФОРМАЦИЯ ОБ АВТОРАХ

Шан Лян, ORCID: https://orcid.org/0009-0004-2410-1727

Куликов Леонид Андреевич, ORCID: https://orcid.org/0000-0002-7665-5404

Кардашева Юлия Сергеевна, ORCID: https://orcid.org/0000-0002-6580-1082

Теренина Мария Владимировна, ORCID: https://orcid.org/0000-0002-4336-9786

Синикова Наталья Александровна, ORCID: https://orcid.org/0000-0001-7196-0082

Караханов Эдуард Аветисович, ORCID: https://orcid.org/0000-0003-4727-954X

СПИСОК ЛИТЕРАТУРЫ

- 1. *Corma A., Iborra S., Velty A.* Chemical Routes for the Transformation of Biomass into Chemicals // Chem. Rev. 2007. V. 107. № 6. P. 2411–2502. https://doi.org/10.1021/cr050989d
- 2. Wu L., Moteki T., Gokhale Amit A., Flaherty David W., Toste F. D. Production of fuels and chemicals from biomass: condensation reactions and beyond // Chem. 2016. V. 1. № 1. P. 32–58. https://doi.org/10.1016/j.chempr.2016.05.002
- 3. Kikhtyanin O., Čapek L., Smoláková L., Tišler Z., Kadlec D., Lhotka M., Diblíková P., Kubička D. Influence of Mg—Al mixed oxide compositions on their properties and performance in aldol condensation // Ind. Eng. Chem. Res. 2017. V. 56. № 45. P. 13411—13422.
 - https://doi.org/10.1021/acs.iecr.7b03367
- 4. Yang J., Li N., Li G., Wang W., Wang A., Wang X., Cong Y., Zhang T. Solvent-Free synthesis of C10

- and C11 branched alkanes from furfural and methyl isobutyl ketone // ChemSusChem. 2013. V. 6. N 7. P. 1149–1152.
- https://doi.org/10.1002/cssc.201300318
- Smoláková L., Frolich K., Kocík J., Kikhtyanin O., Čapek L. Surface properties of hydrotalcite-based Zn(Mg)Al oxides and their catalytic activity in aldol condensation of furfural with acetone // Ind. Eng. Chem. Res. 2017. V. 56. № 16. P. 4638–4648. https://doi.org/10.1021/acs.iecr.6b04927
- 6. Kikhtyanin O., Kadlec D., Velvarská R., Kubička D. Using Mg—Al Mixed Oxide and Reconstructed Hydrotalcite as Basic Catalysts for Aldol Condensation of Furfural and Cyclohexanone // ChemCatChem. 2018. V. 10. № 6. P. 1464—1475. https://doi.org/10.1002/cctc.201701880
- 7. Arumugam M., Kikhtyanin O., Osatiashtiani A., Kyselová V., Fila V., Paterova I., Wong K.-L., Kubič-ka D. Potassium-modified bifunctional MgAl-SBA-15 for aldol condensation of furfural and acetone // Sustain. Energy Fuels. 2023. V. 7. № 13. P. 3047–3059. https://doi.org/10.1039/D3SE00444A
- 8. *Kikhtyanin O., Kelbichová V., Vitvarová D., Kubů M., Kubička D.* Aldol condensation of furfural and acetone on zeolites // Catal. Today. 2014. V. 227. № P. 154–162. https://doi.org/10.1016/j.cattod.2013.10.059
- 9. Su M., Li W., Zhang T., Xin H., Li S., Fan W., Ma L. Production of liquid fuel intermediates from furfural via aldol condensation over Lewis acid zeolite catalysts // Catal. Sci. Technol. 2017. V. 7. № 16. P. 3555–3561. https://doi.org/10.1039/C7CY01028A
- 10. *Cueto J., Korobka V., Faba L., Díaz E., Ordóñez S.* Aldol condensation of biomass-derived levulinic acid and furfural over acid zeolites // ACS Sustain. Chem. Eng. 2020. V. 8. № 11. P. 4371–4383.
 - https://doi.org/10.1021/acssuschemeng.9b06636
- 11. Gandhi P., Saha B., Vedachalam S., Dalai A. K. Renewable fuel intermediates from furfural over copperloaded mesoporous aldol condensation catalysts // Sustain. Energy Fuels. 2023. V. 7. № 17. P. 4260–4272. https://doi.org/10.1039/D3SE00504F
- 12. Balaga R., Yan P., Ramineni K., Du H., Xia Z., Marri M. R., Zhang Z. C. The role and performance of isolated zirconia sites on mesoporous silica for aldol condensation of furfural with acetone // Appl. Catal., A. 2022. V. 648. № P. 118901. https://doi.org/10.1016/j.apcata.2022.118901
- 13. Morales G., Paniagua M., de la Flor D., Sanz M., Leo P., López-Aguado C., Hernando H., Orr S.A., Wilson K., Lee A.F., Melero J.A. Aldol condensation of furfural and methyl isobutyl ketone over Zr-MOF-808/silica hybrid catalysts // Fuel. 2023. V. 339. № ID127465. https://doi.org/10.1016/j.fuel.2023.127465

- 14. *Martín A., Arribas-Yuste E., Paniagua M., Morales G., Melero J.A.* Efficient self-condensation of cyclohexanone into biojet fuel precursors over sulfonic acid-modified silicas: insights on the effect of pore size and structure // ACS Sustain. Chem. Eng. 2024. V. 12. № 27. P. 10175–10185. https://doi.org/10.1021/acssuschemeng.4c01956
- 15. Wang W., Ji X., Ge H., Li Z., Tian G., Shao X., Zhang Q. Synthesis of C15 and C10 fuel precursors with cyclopentanone and furfural derived from hemicellulose // RSC Adv. 2017. V. 7. № 27. P. 16901–16907.
 - https://doi.org/10.1039/C7RA02396K
- 16. Deng Q., Han P., Xu J., Zou J.-J., Wang L., Zhang X. Highly controllable and selective hydroxyalkylation/alkylation of 2-methylfuran with cyclohexanone for synthesis of high-density biofuel // Chem. Eng. Sci. 2015. V. 138. № P. 239—243. https://doi.org/10.1016/j.ces.2015.08.025
- 17. Zhong Y., Zhang P., Zhu X., Li H., Deng Q., Wang J., Zeng Z., Zou J.-J., Deng S. Highly efficient alkylation using hydrophobic sulfonic acid-functionalized biochar as a catalyst for Synthesis of High-Density Biofuels // ACS Sustain. Chem. Eng. 2019. V. 7. № 17. P. 14973—14981. https://doi.org/10.1021/acssuschemeng.9b03190
- 18. *Kulikov L.A., Bazhenova M.A., Bolnykh I.S., Maximov A.L., Karakhanov E.A.* Hydroconversion of guaiacol family molecules over platinum catalysts based on porous aromatic frameworks // Catal. Lett. 2024. V. 154. № 11. P. 6106–6122. https://doi.org/10.1007/s10562-024-04793-w
- 19. Goesten M. G., Juan-Alcañiz J., Ramos-Fernandez E.V., Sai Sankar Gupta K.B., Stavitski E., van Bekkum H., Gascon J., Kapteijn F. Sulfation of metal—organic frameworks: Opportunities for acid catalysis and proton conductivity // J. Catal. 2011. V. 281. № 1. P. 177—187. https://doi.org/10.1016/j.jcat.2011.04.015
- 20. Ярчак В.А., Куликов Л.А., Максимов А.Л., Караханов Э.А. Эпоксидирование олефинов в присутствии молибденовых катализаторов на основе пористых ароматических каркасов // Нефтехимия. 2023. V. 63. № 1. Р. 100—109. https://doi.org/10.31857/s0028242123010094 [Makhova V.A., Kulikov L.A., Akopyan A.V., Karakhanov E.A., Molybdenum catalysts supported on porous aromatic frameworks in epoxidation of olefins // Petrol. Chemistry. 2024. V. 64. P. 492—499. https://doi.org/10.1134/S0965544124020208].
- 21. Акопян А.В., Есева Е.А., Лукашов М.О., Куликов Л.А. Молибденсодержащие катализаторы на основе пористых ароматических каркасов в качестве катализаторов окисления серосодержащих соединений // Нефтехимия. 2023. V. 63. № 1. Р. 20—31. https://doi.org/10.31857/s0028242123010021

506 ЛЯН и др.

[Akopyan A.V., Eseva E.A., Lukashov M.O., Kulikov L.A. Molybdenum-containing catalysts based on porous aromatic frameworks as catalysts of oxidation of sulfur-containing compounds // Petrol. Chemistry. 2023. V. 63. P. 257-267. https://doi.org/10.1134/S0965544123010103].

- 22. Akopyan A.V., Kulikov L.A., Polikarpova P.D., Shlenova A.O., Anisimov A.V., Maximov A.L., Karakhanov E.A. Metal-free oxidative desulfurization catalysts based on porous aromatic frameworks // Ind. Eng. Chem. Res. 2021. V. 60. № 25. P. 9049–9058. https://doi.org/10.1021/acs.iecr.1c00886
- 23. Караханов Э.А., Гоцзюн М., Кряжева И.С., Таланова М.Ю., Теренина М.В. Алкилирование фенола алкенами в присутствии катализаторов на основе мезопористых ароматических каркасов // Изв. АН. Сер. хим. 2017. № 1. С. 39-46 [Karakhanov E.A., Gotszyun M., Kryazheva I.S., Talanova M.Y., Terenina M.V. Alkylation of phenol with olefins in the presence of catalysts based on mesoporous aromatic frameworks // Russ. Chem. Bull. 2017. V. 66. № 1. P. 39-46. https://doi.org/10.1007/s11172-017-1697-81.
- 24. Теренина М.В., Кардашева Ю.С., Куликов Л.А., Синикова Н.А., Караханов Э.А. Родийсодержащие мезопористые ароматические каркасы как катализаторы гидроформилирования непредельных соединений // Наногетерогенный катализ. 2022. V. 7. № 2. P. 43–50. https://doi.org/10.56304/S2414215822020010 [Terenina M.V., Kardasheva Y.S., Kulikov L.A., Sinikova N.A., Karakhanov E.A. Rhodium-containing mesoporous aromatic frameworks as catalysts for hydroformylation of unsaturated compounds // Petrol. Chemistry. 2022. V. 62. P. 1321–1327. https://doi.org/10.1134/S0965544122040089].

- 25. Maximov A., Zolotukhina A., Kulikov L., Kardasheva Y., Karakhanov E. Ruthenium catalysts based on mesoporous aromatic frameworks for the hydrogenation of arenes // React. Kinet. Mech. Cat. 2016. V. 117. № 2. P. 729–743. https://doi.org/10.1007/s11144-015-0956-7
- 26. Noda Y., Li K., Engler A.M., Elliott W.A., Rioux R.M. Development of a robust sulfur quantification and speciation method for SBA-15-supported sulfonic acid catalysts // Catal. Sci. Technol. 2016. V. 6. № 15. P. 5961-5971.
 - https://doi.org/10.1039/C6CY00292G
- 27. Merino E., Verde-Sesto E., Maya E.M., Corma A., Iglesias M., Sánchez F. Mono-functionalization of porous aromatic frameworks to use as compatible heterogeneous catalysts in one-pot cascade reactions // Appl. Catal. A. 2014. V. 469. № P. 206-212. https://doi.org/10.1016/j.apcata.2013.09.052
- 28. Li X., Sun J., Shao S., Hu X., Cai Y. Aldol condensation/hydrogenation for jet fuel from biomassderived ketone platform compound in one pot // Fuel Process. Technol. 2021. V. 215. ID106768. https://doi.org/10.1016/j.fuproc.2021.106768
- 29. Deng Q., Peng H., Yang Z., Wang T., Wang J., Zeng Z., Dai S. A one-pot synthesis of high-density biofuels through bifunctional mesoporous zeoliteencapsulated Pd catalysts // Appl. Catal., B. 2023. V. 337. P. 122982. https://doi.org/10.1016/j.apcatb.2023.122982
- 30. Debek R., Motak M., Grzybek T., Galvez M.E., Da Costa P. A Short review on the catalytic activity of hydrotalcite-derived materials for dry reforming of methane // Catalysts. 2017. V. 7. № 1. P. 32. https://doi.org/10.3390/catal7010032